

Ústav fyzikální elektroniky PŘF MU

# FYZIKÁLNÍ PRAKTIKUM

Fyzikální praktikum 3

**Zpracoval:** Artem Gorodilov

**Naměřeno:** 15. dubna 2024

**Obor:** Astrofyzika

**Skupina:** Po 14:00

**Testováno:**

## Úloha č. I: Rutherfordův experiment

### 1. Zadání

- Sledovat počet registrovaných  $\alpha$ -částic pro dostatečný počet různých poloh zlaté fólie. Ověřit vztah pro Rutherfordův rozptyl (2).
- Ověřit, zda počty zaznamenaných  $\alpha$ -částic mají Poissonovo rozdělení (3).

### 2. Teorie

#### 2.1. Rutherfordův experiment

Rutherfordův experiment odpověděl na otázku, jaké je rozložení náboje v atomu. Byl proveden tak, že byly  $\alpha$ -částice vysílány na zlatou fólii. Výsledky experimentu ukázaly, že většina  $\alpha$ -částic prošla fólií, ale některé byly odraženy zpět. Z toho bylo zjištěno, že náboj atomu je soustředěn v jádře.

#### 2.2. Rutherfordův rozptyl

Rutherfordův rozptyl je rozptyl  $\alpha$ -částic na jádrech atomů. Vztah pro množství rozptýlených pod úhlem  $\chi$  do elementu prostorového úhlu  $d\Omega$  za jednotku času je dán vztahem (1):

$$dn = N \frac{K_1}{\sin^4 \frac{\chi}{2}} d\Omega \quad (1)$$

kde  $N$  je počet  $\alpha$ -částic dopadajících na fólii,  $K_1$  je konstanta dana parametry experimentu. Mluvime o parametru  $\chi$ , musíme si uvědomit, že se jedná o úhel mezi směrem dopadu  $\alpha$ -částic a směrem, ve kterém byly detekovány. Uspořádání experimentu je znázorněno na obrázku (1).

Pak můžeme zapsat rovnici pro množství detekovaných  $\alpha$ -částic za jednotku času  $n$  jako:

$$n = K \frac{\cos \alpha \cos \beta}{r_1^2 r_2^2 \sin^4 \frac{\chi}{2}} = Kx \quad (2)$$

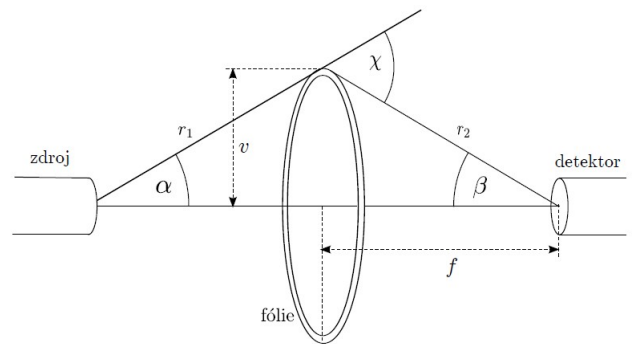


Figure (1) Experimentální uspořádání aparatury.

#### 2.3. Poissonovo rozdělení a $\chi^2$ test

Poissonovo rozdělení je pravděpodobnostní rozdělení diskrétní náhodné veličiny, která udává pravděpodobnost, že se daná událost stane  $n$ -krát v daném časovém intervalu nebo prostorovém objemu. Pravděpodobnostní funkce Poissonova rozdělení je dána vztahem (2):

$$P(n) = \frac{\lambda^n}{n!} e^{-\lambda} \quad (3)$$

kde  $\lambda$  je střední hodnota a rozptyl Poissonova rozdělení.

Pro ověření, zda počty zaznamenaných  $\alpha$ -částic mají Poissonovo rozdělení, můžeme použít  $\chi^2$  test. Pro tento test je třeba spočítat hodnotu  $\chi^2$  podle vztahu (3):

$$\chi^2 = \sum_{j=1}^n \frac{(K_j(n) - NP_j(n))^2}{NP_j(n)} \quad (4)$$

kde  $K_j(n)$  je počet pozorovaných hodnot v určitém časovém intervalu,  $P_j(n)$  je pravděpodobnost, že se daná událost stane  $n$ -krát v daném časovém intervalu a  $N$  je celkový počet pozorování.

### 3. Měření

#### 3.1. Rutherfordův rozptyl

Abychom zjistili, zda rozložení detekovaných částic splňuje Rutherfordův rozptyl (2), měřili jsme počet  $\alpha$ -částic dopadajících na detektor  $N$  v závislosti na vzdálenosti fólie od detektoru  $f$  za čas  $t$ . Poté jsme vypočítali koeficient  $x$  uvedený ve vzorci (2) a průměrný počet  $\alpha$ -částic dopadajících na detektor za 60 sekund  $n$ . Výsledky jsou uvedeny v tabulce (1).

Vynesli jsme do grafu závislost  $n(f)$ , ze které je patrné, že rozložení počtu  $\alpha$ -částic dopadajících na detektor závisí na vzdálenosti fólie od detektoru. Výsledky jsou znázorněny na obrázku (2).

Dále jsme nakreslili graf závislosti  $n(x)$ . Výsledky jsou znázorněny na obrázku (3). Lineárním fitováním jsme získali koeficient úměrnosti  $K$ :

$$K = (489 \pm 78) [\text{min}^{-1}\text{cm}^{-4}]$$

Podle vzorce (2) jsme vypočítali teoretickou hodnotu  $n$ , přičemž vypočtenou hodnotu  $x$  jsme dosadili do získané hodnoty koeficientu úměrnosti  $K$ . Výsledky jsou znázorněny v grafu (2).

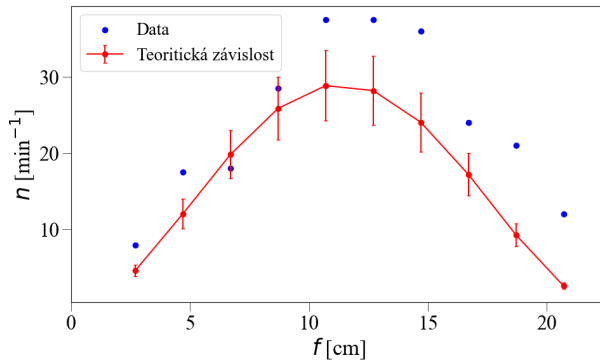


Figure (2) Závislost množství detekovaných  $\alpha$ -částic na vzdálenosti fólie od detektoru.

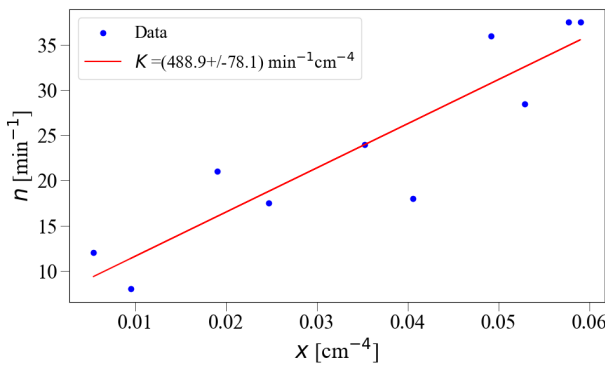


Figure (3) Závislost množství detekovaných  $\alpha$ -částic na  $x$

#### 3.2. Poissonovo rozdělení

Abychom ověřili, zda je rozložení detekovaných  $\alpha$ -částic Poissonovo, umístili jsme fólii doprostřed mezi zdroj částic a detektor  $f = 11.35$  cm. Po dobu  $T = 2000$  s jsme pomocí osciloskopu nepřetržitě měřili počet  $\alpha$ -částic dopadajících na detektor. Pro filtraci získaných dat jsme nastavili práh rovný  $U_{tresh} = 0.24$  V. Získaná data jsme rozdělili do časových intervalů  $t_{diff} = 60$  s a získali jsme tak počet měření  $N = 32$ . Výpočtem průměrné hodnoty počtu detekovaných částic za 60 sekund jsme získali střední počet detekovaných částic  $\lambda$ :

$$\lambda = 19.91 \text{ min}^{-1}.$$

Abychom potvrdili, že rozdělení má skutečně Poissonův tvar, sestrojili jsme histogram počtu detekovaných  $\alpha$ -částic za 60 sekund  $n$  a provedli fitování rozdělení pomocí knihovny `scipy.stats.poisson`. Výsledky jsou uvedeny na obrázku (4).

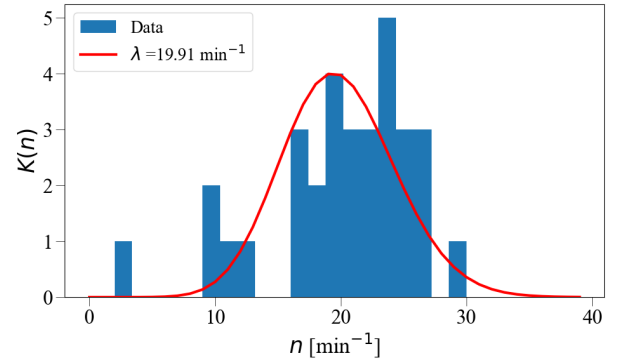


Figure (4) Histogram počtu detekovaných  $\alpha$ -částic za 60 sekund.

Abychom nakonec potvrdili hypotézu o povaze Poissonova rozdělení, použijeme test  $\chi^2$ . Rozdělme náš histogram na 5 nerovnoměrných intervalů  $n$  tak, aby v každém z nich byla hodnota  $K(n) > 5$ . Máme-li střední hodnotu Poissonova rozdělení  $\lambda$  a počet měření  $N$ , použijeme vzorec (3) k nalezení hodnot  $NP(n)$  pro každý z intervalů  $n$ . Výsledky jsou uvedeny v tabulce (2). K výpočtu hodnoty  $\chi^2$  použijte vzorec (4):

$$\chi^2 = 4.84$$

K výpočtu veličin a jejich nejistot byla použita knihovna `Uncertainties` pro Python [1]. Chyby byly rozšířeny o Studentův koeficient (2-Tail Confidence Level) s ohledem na stupně volnosti pro každou hodnotu, pro interval spolehlivosti 68.27%.

## 4. Závěr

Bylo zjištěno, že rozložení detekovaných  $\alpha$ -částic závisí na vzdálenosti fólie od detektoru. Bylo zjištěno, že rozložení detekovaných  $\alpha$ -částic splňuje Rutherfordův rozptyl. Byl získán koeficient úměrnosti  $K = (489 \pm 78) [\text{min}^{-1}\text{cm}^{-4}]$ . Z grafu (2) je patrné, že křivky naměřených a teoreticky vypočtených hodnot  $n$  jsou v mezích chyby v intervalu  $2.7 [\text{cm}] < f < 8.7 [\text{cm}]$ . Pak mají hodnoty přibližně stejný posun ( $n_{\text{teor}} < n_{\text{naměř}}$ ). Tvar křivek je v tomto případě podobný. Rozdíly mezi hodnotami  $n_{\text{teor}}$  a  $n_{\text{naměř}}$  při  $f > 8.7 [\text{cm}]$  mohou být způsobeny nepřesnostmi měření počtu  $\alpha$ -částic dopadajících na detektor.

Dále bylo zjištěno, že rozložení detekovaných  $\alpha$ -částic má Poissonovo rozdělení. Byla získána hodnota  $\chi^2 = 4.84$ , zatímco pro počet stupňů volnosti  $\text{dof} = N - 1 = 4$  a hladinu spolehlivosti 95 % je kritická hodnota  $\chi^2_{\text{krit}} = 9.483$ . Protože námi získaná hodnota  $\chi^2 < \chi^2_{\text{krit}}$ , nemůžeme zamítnout teorii, že naše rozdělení je Poissonovo.

## Odkazy

[1] Uncertainties, Dostupné online: <https://pypi.org/project/uncertainties>

## 5. Appendix

### 5.1. Tabulka naměřených hodnot pro Rutherfordův rozptyl

f [cm]	N	t [s]	$r_1$ [cm]	$r_2$ [cm]	$\alpha$ [°]	$\beta$ [°]	$\chi$ [°]	x [cm <sup>-4</sup> ]	n [min <sup>-1</sup> ]	$n_{\text{teor}}$ [min <sup>-1</sup> ]
20.7	24	120	2.83	20.8	45.0	5.52	50.52	0.01	12.0	2.6+/-0.4
18.7	42	120	4.47	18.81	26.57	6.1	32.67	0.02	21.0	9.3+/-1.5
16.7	48	120	6.32	16.82	18.43	6.83	25.26	0.04	24.0	17.2+/-2.8
14.7	24	40	8.25	14.84	14.04	7.75	21.78	0.05	36.0	24+/-4
12.7	25	40	10.2	12.86	11.31	8.95	20.26	0.06	37.5	28+/-5
10.7	25	40	12.17	10.89	9.46	10.59	20.05	0.06	37.5	29+/-5
8.7	19	40	14.14	8.93	8.13	12.95	21.08	0.05	28.5	26+/-4
6.7	12	40	16.12	6.99	7.13	16.62	23.75	0.04	18.0	19.8+/-3.2
4.7	35	120	18.11	5.11	6.34	23.05	29.39	0.02	17.5	12.1+/-1.9
2.7	16	120	20.1	3.36	5.71	36.53	42.24	0.01	8.0	4.6+/-0.7

### 5.2. Tabulka naměřených hodnot pro ověření Poissonova rozdělení

n	$K_j(n)$	$\text{NP}_j(n)$
(0;14]	5	2.2
(14;19]	7	10.26
(19;21]	5	5.7
(21;24]	8	7.24
(24;32]	7	6.36